

## دینامیک دریا و عوامل موثر بر نوسانات تراز دریا در تحول قاعده دلتاهای شمال تنگه هرمز

احمد نوحه گر: دانشیار ژئومورفولوژی، دانشگاه هرمزگان، بندرعباس، ایران \*

محمد مهدی حسینزاده: استادیار ژئومورفولوژی، دانشگاه شهید بهشتی، تهران، ایران

### چکیده

یکی از عوامل موثر در شکل زایی محیط ساحلی، هیدرودینامیک دریا است و در کلیه طرح‌های مرتبط با ساحل این مسئله مورد توجه است. در این مقاله، هیدرودینامیک دریا در تنگه هرمز و حرکات آب دریا اعم از جزر و مد، امواج و جریان‌های دریایی در قاعده دلتاهای منطقه، بررسی شده است. محلوده مطالعه، سواحل تنگه هرمز، بین مصب رودخانه میناب در شرق و مصب رودخانه شور در غرب بندر عباس است؛ این محدوده، نوار خط ساحلی دریا را شامل می‌شود. در این تحقیق، ابتدا داده‌های کتابخانه ای و آماری از منابع موجود جمع آوری شد. در ادامه بعد از تشرییح اشکال و فرایندهای ساحلی منطقه به ویژه قاعده دلتاهای، وضعیت امواج، جریان‌های جزر و مدی و جریان‌های حاصله، بررسی شده و در نهایت، وضعیت فرسایش اعم از تخریب، جابجایی رسوب و رسوبگذاری، در پهنه ساحلی منطقه تجزیه و تحلیل گردید. براساس بررسی‌های انجام شده حرکات آب شامل: امواج، جزر و مد و جریان‌های ساحلی و دریایی؛ مهمترین نقش را در تحولات مورفولوژی خط ساحلی در قاعده دلتاهای به عهده دارند که در این میان امواج نقش مهمتری را در شکل گیری و توپوگرافی ساحل به عهده دارند و دو عامل دیگر نقش واسطه یا تکمیل کننده را ایفا می‌کنند. اما در قسمت‌های قاعده دلتاهای به دلیل کاهش میزان شیب به کمتر از  $0^{\circ}/0^{\circ}$  در صدم پدیده جزر و مد بیشترین تاثیر را بر روی محدوده خط ساحلی، دارد.

واژه‌های کلیدی: ژئومورفولوژی ساحلی، تنگه هرمز، هیدرودینامیک دریا، حرکات دریا، قاعده دلتاهای

### مقدمه

سرعت‌های جریان در گستره تنگه هرمز و سواحل آن برای تعیین فشارها و بارهای افقی ناشی از جریان و تعیین نیرو و قدرت آن در رابطه با توان فرسایندگی، حمل و جابجایی رسوب حائز اهمیت است.

آنچه مهم است قاعده دلتاهای منطقه در معرض تهدید و ناپایداری قرار دارند و تحت تاثیر حرکات آب دریا اعم از جزر و مد، امواج و جریان‌های دریایی است. این حرکات موجب ناپایداری این بخش از نظر قابلیت بهره برداری‌های انسانی شده است. شیب کم پهنه ساحلی در اراضی مجاور پس کرانه موجب

با توجه به نقش هیدرودینامیک دریا به عنوان یکی از عوامل موثر در شکل زایی محیط ساحلی مطالعات هیدرودینامیک پدیده‌های مختلف محیط دریا از اهمیت والائی برخوردار است و در رابطه با کلیه طرح‌ها و پروژه‌های مرتبط با ساخت و اجرای سازه‌های دریایی جزء لاینفک مطالعات محسوب است. در این مبحث، هیدرودینامیک دریا در تنگه هرمز مورد بررسی قرار گرفته است. نتایج مطالعات هیدرودینامیک دریا در حالت نهایی برای تعیین

گرفته است. همچنین می‌توان به مطالعات محققینی چون کسلر (۱۹۷۳)، کوکال و همکار (۱۹۷۳)، ملگون (۱۹۷۳)، سی بولد و همکاران (۱۹۸۱)، دانه کار (۱۳۷۶)، یمانی (۱۳۸۳)، نوحه گر (۱۳۸۵)، مجموعه مقالات اولین سمینار علوم و فنون دریایی و جوی ایران (۱۳۷۲) و (۱۳۷۳) و مهندسین مشاور جاماب (۱۳۷۸) اشاره کرد. نکته قابل توجه در بیشتر مطالعات بررسی عوامل تاثیر گذار بر قاعده دلتا از سمت خشکی بوده و به عوامل با منشاء دریایی کمتر توجه شده است.

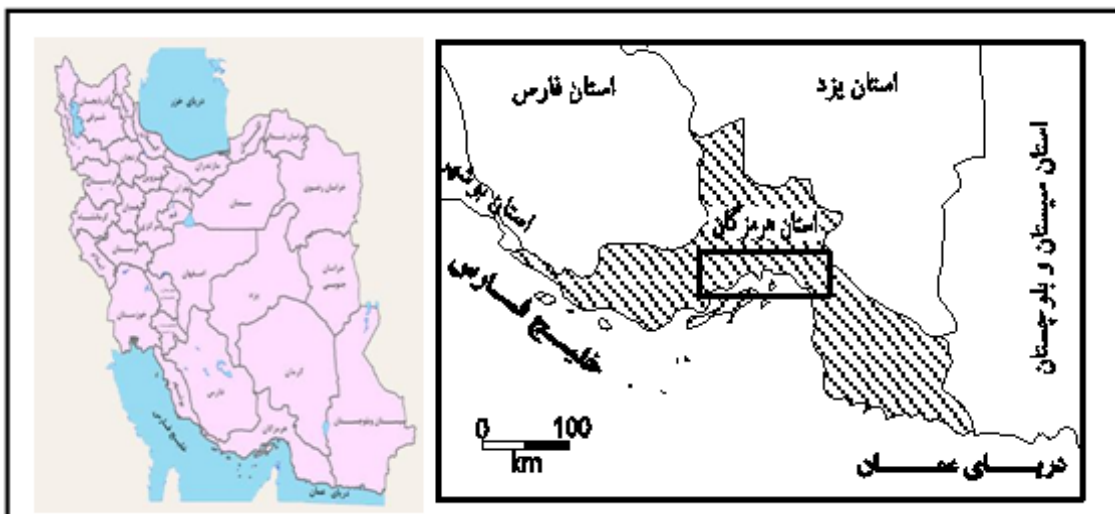
#### محدوده مورد مطالعه

محدوده مورد مطالعه، سواحل تنگه هرمز، مابین مصب رودخانه میاناب در شرق و مصب رودخانه شور در غرب بندر عباس را در بر می‌گیرد. با توجه به این که عوامل مختلفی از جمله هیدرودینامیک دریا در قاعده دلتاهای به طور مستقیم و غیر مستقیم نظیر باد و فعالیت‌های انسانی، دلتاهای منطقه ساحلی را تحت تأثیر قرار می‌دهند. بنابراین، محدوده مورد مطالعه، نوار خط ساحلی دریا را شامل می‌گردد. شکل ۱ و ۲ موقعیت این محدوده را نشان می‌دهد.

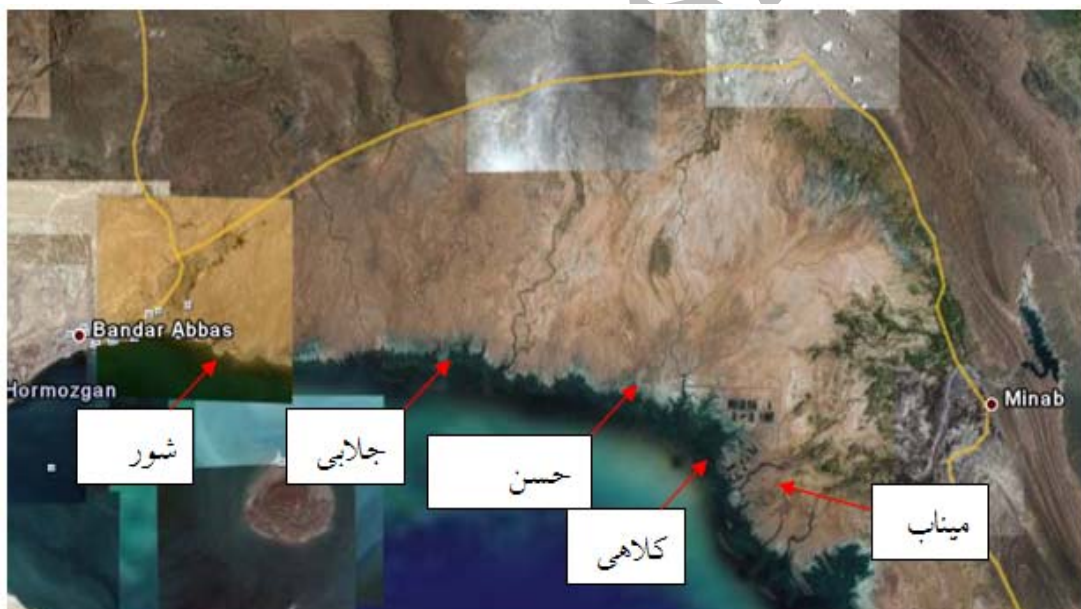
این محدوده در مختصات جغرافیایی ۲۵ درجه و ۲۷ دقیقه الی ۲۸ درجه و ۳۱ دقیقه عرض شمالی و ۵۵ درجه و ۵۸ دقیقه الی ۵۷ درجه و ۵۵ دقیقه طول شرقی واقع شده است و محدوده سیاسی شهرستان‌های میناب و بندرعباس در استان هرمزگان را در بر می‌گیرد.

پیشروی چند کیلو متری آب در یا در اثنای جزر و مدهای با دامنه بالا در این محدوده می‌گردد. از آنجا که در طول خط ساحلی دریای عمان، تنگه هرمز و خلیج فارس، ساحل شمالی تنگه هرمز از بالاترین دامنه جزر و مد برخوردار است بنابراین، تاثیرات آب در یا در این بخش بیش از هر جای دیگری مشهود است. و این مسئله تردد را در سطوح گلی و تالاب‌های جزر و مدى تقریباً غیر ممکن ساخته است. به همین دلیل دسترسی به خط ساحلی و آب دریا حد فاصل بندر عباس تا مصب رود خانه میناب به جز چند نقطه محدود در سایر نقاط امکان پذیر نیست. بنابراین، بررسی رفتار دینامیکی حرکات آب دریا بر روی بخش خط ساحلی و پس کرانه جزر و مدى هدف این مطالعه است.

تحقیقات انجام شده در سواحل دریای مانش در کشورهای انگلیس و فرانسه که به صورت جداگانه توسط انجمن تحقیقات علوم زمین دو کشور صورت گرفته است، از جمله بارزترین تحقیقات انجام شده در زمینه فرسایش ساحلی است. در رابطه با بررسی ویژگی‌های مورفولوژی نوار ساحلی خلیج فارس و دریای عمان می‌توان به مجموعه مقالات مندرج در کتاب خلیج فارس که توسط بی اچ پرش (۱۹۷۳) گردآوری شده است، اشاره کرد. در کتاب مذکور، عمدتاً شرایط پیدایش و تحولات زمین‌شناختی خلیج فارس و ویژگی‌های رسوبگذاری در آن طی دوره هولوسن، ویژگی‌های بیولوژیکی خلیج فارس و به ویژه مورفولوژی سواحل جنوبی خلیج فارس و عوامل مؤثر در شکل‌گیری آنها، مورد بررسی قرار



شکل ۱- محدوده منطقه ساحلی مورد مطالعه در استان هرمزگان



شکل ۲- تصویر ماهواره ای دلتاهای منطقه مورد مطالعه

الگوی جریان‌های آب ناشی از وزش باد و امواج و جزر و مد در محدوده مورد مطالعه، با استفاده از شدیدترین بادی که در جهات هشتگانه در منطقه وزیده است و نیز داده‌های جزر و مد ایستگاه بندرعباس مورد تجزیه و تحلیل قرار گرفته است.

**مواد و روش تحقیق**  
در این تحقیق ابتدا اطلاعات مورد نیاز به روش‌های کتابخانه‌ای که عمدتاً شامل مطالعات انجام گرفته در مورد منطقه اعم از ویژگی‌های محیط طبیعی و انسانی بوده است گردآوری شده‌اند.

پیوسته به علت امواج و نیروهای کشنده (جزر و مد) در مقیاس کوتاه مدت و به علت نیروهای تکتونیکی و ایزوستازی یخچالی و زلزله در مقیاس بلندمدت تغییر می‌کنند. ویژگیهای ساحلی قویاً به ساختار زمین شناسی محلی، فرایندهای جاری و گذشته و بطور فزاینده‌ای به فعالیتهای انسانی وابسته است.

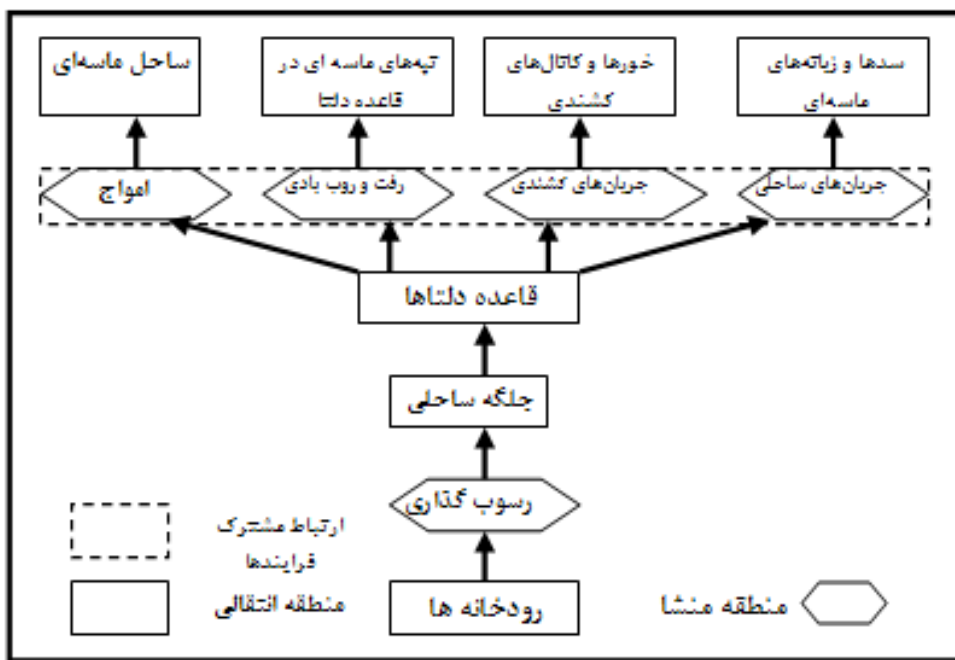
ساحل به عنوان یک سیستم باز در مباحث ژئومورفولوژیک مورد بررسی قرار می‌گیرد این سیستم به عنوان یک جبهه همواره از دو سو مورد تهاجم قرار دارد. از یک سو حرکات آب دریا شامل امواج، جریان‌های ساحلی و جزرو مد و از سویی دیگر فرایندهای محیط پسکرانه و خشکی است که عمده‌تا شامل جریان رودخانه‌ای و دینامیک باد است.

در این میان به جز سواحل ساختمانی و دریابارها، بخش عمده سواحل را سواحل دلتایی تشکیل می‌دهند. این نوع سواحل، عموماً به سوی دریا در حال پیشروی هستند و علت این امر هم رسوب گذاری رودخانه‌ها در سطوح و قاعده آنها است. دینامیک حرکات آب دریا اعم از جزرو مد، جریان‌های ساحلی و امواج و از طرفی بادهای ساحل و دریا رسوب گذاری در دلتاهای را از حالت سکون و پایداری خارج نموده و سر انجام در یک فرایند مشخص باعث ایجاد اشکال ژئومورفولوژی ویژه در امتداد خط ساحلی دلتاهای می‌گردند (شکل ۳).

در محدوده مورد مطالعه، وضعیت جریان‌های جزر و مدل از نظر سرعت جابجائی آب و جریان‌های حاصله بررسی و با جریان‌های ناشی از وزش باد مقایسه شده است. در نهایت وضعیت فرسایش اعم از تخریب، جابجائی رسوب و رسوبگذاری در پهنه ساحلی مورد مطالعه مورد تجزیه و تحلیل قرار گرفته است.

### محیط ژئومورفیک ساحلی

ساحل یا ناحیه کرانه‌ایی از نواحی مهم جغرافیایی و گستردترین عنصر چشم‌انداز کره زمین است. تقریباً در تمام نقشه‌ها در مقیاسهای متفاوت، سواحل به طور معمول به صورت خطی که خشکی را از آب جدا می‌کند، نشان داده می‌شوند. سواحل روی خطوط ثابتی نیستند بلکه یک نوار کم و بیش عریض را می‌سازند. تحول عرضی این حاشیه مرزی تابع پارامترهای متفاوتی است که به ویژه نوسانات وضعیت آب، شبیب دامنه ساحلی و شبیب دامنه زیرآب نزدیک به ساحل جزء آن هستند. ضربات کوچک امواج به نوسان بسیار سریع افقی خط ساحل تا چند متر و امواج قوی و شکننده تا چند دکامتر منجر می‌شود. در سواحلی که دامنه امواج در آنجا در حد متوسط یا بزرگتر است. خطوط ساحلی در بخش‌های هموار ساحل، بسته به کوچک یا بزرگ بودن امواج اغلب بیشتر از ۱۰۰۰ متر به طور افقی و فقط تا چند متر به طور عمودی نوسان می‌کنند. سواحل به طور



شکل ۳- روابط بین عوامل منشا و حمل رسوبات در یک دلتای ساحلی

بر این که از یک روند ثابت و دوره‌ای پیروی می‌کند، دارای حرکتی نسبتاً کند و آرام هستند. بنابراین، از نظر زمانی در کوتاه مدت به حالت تعادل نسبی رسیده و روند تغییرات ناشی از آنها بسیار کند می‌گردد. بدینهی است باد عامل ایجاد موج است (صرف نظر از امواجی که در اثر زلزله ایجاد می‌شوند). باد نه تنها سبب ایجاد امواج مخرب می‌گردد گاه ممکن است جریان گشندی و وزش باد، با هم به افزایش تراز آب کمک نمایند (خیزآب هجومی) و موجب افزایش ارتفاع گشندها (جزر و مد) گردد. برای بررسی اثر باد بر سواحل باید ابتدا تفاوت بین دو باد غالب یا جهت عمومی ترین باد و باد مؤثر یا جهت مؤثرترین باد را مشخص نمود. در جایی که این دو باد بر هم منطبق باشد ساحل به عنوان یک ساحل در جهت باد معروف است و در جاهایی که این دو باد بر هم منطبق نباشد آن ساحل را

**حرکات آب دریا**  
 مهمترین نقش را در تحول مورفولوژی خط ساحلی در قاعده دلتاهای، حرکات آب به عهده دارند. این حرکات شامل سه گروه اصلی می‌گردند و عبارتند از :

- امواج

- کشنند (جزر و مد)

- جریان‌های ساحلی و دریایی

#### الف) جریان‌های ناشی از امواج

در میان حرکات دریا امواج نقش مهمتری را در شکل گیری و توپوگرافی ساحل به عهده دارند. در واقع دو عامل دیگر نقش واسطه یا تکمیل کننده را ایفا می‌کنند. زیرا چنانچه از امواج صرف نظر نکیم، جریان‌های دریایی و به ویژه جزر و مد در طول یک خط ساحلی تقریباً ثابت هستند و تغییرات آنها علاوه

زمین، به علت تغییرات زمانی نیروهای کشنشی ناشی از ماه و خورشید و بقیه سیارات و در هر نقطه از زمین (کلتات، ۱۹۸۹: ۶۴). گذشته از بحث نظری کشندها، توپوگرافی ساحل نیز در دامنه کشندها بسیار تاثیر نیست. به طوری که خلیجها و فرو رفتگی‌های ساحلی از دامنه کشنده بیشتری برخوردارند. کشندها با توجه به نوع موجی که ایجاد می‌کنند تحت تاثیر شکل حوضه‌های اقیانوسی، ویژگی‌های خط ساحلی، نیروی کوریولس و شرایط هواشناختی هستند. عموماً کشندها در خلیج‌ها و آب راهه‌های باریک، دارای دامنه بزرگ‌تری هستند و به علت انحراف به سمت راست جریانات آب، اثر کوریولس کشندها در حاشیه سمت راست بخش‌های ساحل شمالی خلیج فارس بیشتر از سواحل جنوبی آن است. همچنین اختلاف بین مد و جزر (دامنه کشنده) در خلیج‌ها و خورها که آب در فضای باریکی متتمرکز می‌شود به ناگهان زیاد می‌شود. اثرات کشنده بر سواحل را می‌توان در قالب اعمال مکانیکی، شیمیایی و زیستی فرسایشی توصیف کرد. منشا بسیاری از فرسایش‌های دریایی، جریان‌های ایجاد گشته به وسیله کشنده یا امواج است ( محمودی، ۱۳۷۵: ۱۸۵).

- پدیده‌های ساحلی ناشی از جزر و مد: در منطقه تحت نوسانات جزر و مدی بزرگتر و در سواحل هموار یک کناره عریض وجود دارد که چندین ساعت در روز به وسیله آب شور پوشیده می‌شود و چندین ساعت از آب بیرون می‌ماند این شرایط از نظر رسوی و زیستی منجر به تشکیل یک محیط ویژه می‌شود که

باد پناه می‌نامند. هر چند در این منطقه بادهای غربی به طور دائمی می‌وزند بنابراین، بادهای شمالی و شرقی می‌توانند اثرات مشخص تری بر فرایندهای ساحلی داشته باشند (کینگ، ۱۹۶۶: ۷۵).

- نقش امواج در مورفولوژی ساحلی: با توجه به ویژگی‌های امواج و دینامیک آنها، تاثیر گزاری امواج بر روی خطوط ساحلی دلتایی عمدتاً منجر به ایجاد اشکال مورفولوژی خاص و تغییر شکل آنها از حالت یکنواخت می‌شود. شما کلی خطوط ساحلی دلتایی با یک دید قائم، انحنای را در روی نقشه ترسیم می‌کنند که تحدب آن به سوی دریا است. گسترده‌گی و عرض این تحدب وابسته به حجم رسوبگذاری رودخانه در قاعده دلتا و از سوی دیگر قدرت و تداوم حرکات آب دریا در توزیع این رسوبات در امتداد خط ساحلی است. بدیهی است در سواحلی که دامنه امواج کوتاه‌تر و تمایل برخورد امواج به خط ساحلی کمتر باشد خط ساحلی یکنواخت تر بوده و اشکال مورفولوژی ساحلی از تنوع کمتری برخوردارند. برخورد مایل امواج به خط ساحلی در محل قاعده دلتاهای موجب رانش جانبی رسوب از دهانه رودخانه شده و سرانجام موجب تشکیل زبانه‌های ساحلی می‌شوند. هر قدر این جریان‌ها از تداوم بیستری برخوردار باشند این پیکان‌ها رشد پیدا کرده و سر انجام در نتیجه دخالت جزو مد امتداد آنها بریده شده و سدهای ساحلی را تشکیل می‌دهند.

### ب) جریان‌های کشنده

کشنده عبارت است از یک تغییر شکل کشاویند کره

دریای عربی جریانی به سمت شمال شرقی در امتداد ساحل شمالی امتداد می‌یابد و پس از عبور از راس الحد وارد دریای عمان شده و در امتداد ساحل مکران به سمت تنگه هرمز جریان می‌یابد. بخش کوچکی از این جریان پس از عبور از تنگه هرمز وارد خلیج فارس می‌گردد. اما شاخه اصلی در مدخل تنگه هرمز با برخورد به ساحل مسقط و عمان به سمت جنوب چرخیده و در امتداد ساحل جنوبی عمان به سمت دریای عربی باز می‌گردد. سرعت این جریانها بطور فصلی تغییر می‌کند. به گونه‌ای که در دی ماه سرعت آنها بین ۷۰۰ تا ۱۴۵۰ متر در ساعت متغیر است. بر اساس مشاهدات انجام گرفته توسط کشتی‌های تحقیقاتی سرعت این جریان‌ها در اوایل بهار به ۱۸ تا ۵۲ متر در دقیقه افزایش می‌یابد. آنچه مهم است اینکه سرعت این جریان‌ها در نزدیکی خط ساحلی بسیار کم شده و صرفاً قادر هستند رسوبات معلق در آب دریا را جابجا نمایند (بنازاده و همکار، ۱۳۷۳: ۱۵۴).

جریان‌های جزو مدل نیز با توجه دامنه آنها در حین پیشروی و پسروی روزانه خود در روی استران و پهنه‌های جزو مدل به طور گستردگی در شستشوی ساحلی نقش دارند. تشکیل بسیاری از اشکال ژئومورفولوژیک ساحلی نتیجه دخالت آنها است. بخشی از این جریان‌ها در پیش کرانه سرعت قابل توجهی داشته و جابجایی شناورها تاثیر گذار هستند. نوع سوم جریان‌ها و مهمترین آنها از نظر تاثیر گذاری بر روی خط ساحلی جریان‌های ساحلی حاصل از برخورد مایل امواج هستند. در اثر برخورد

محل زندگی جانوران خشکی و آبزی است به اصطلاح وات گفته می‌شود. در همه مناطق مختلف آب و هوایی کره زمین انواع بسیار متفاوت وات وجود دارد، واتهای حرا که در آنها بر عکس واتهای عرضهای متوسط، پوشش گیاهی غالب از درختان تشکیل می‌شود اهمیت خاصی دارند. ریشه‌های طویل در هوای آزاد قرار گرفته و درختان حرا باعث تثیت سریعتر و بهتر سطوح وات و نیز حاشیه مجراهای آبی آن شده بدین وسیله به تشدید رسوبگذاری مواد معلق منجر می‌شود (دانه کار، ۱۳۷۶: ۹۶).

### ج) جریان‌های دریایی و ساحلی

جریان‌های آب در امتداد خطوط ساحلی به سه گروه قابل تفکیک هستند که عبارتند از:

- جریان‌های عمومی آب دریا که ناشی از اختلاف دما، جریان‌های باد و توزیع فشار هوا و جریان‌های عمومی اقیانوس منشا می‌گیرند.
- جریان‌های جزر و مدلی که به طور روزانه و تحت تاثیر جزو مد ایجاد می‌شوند.

- جریان‌های ساحلی که تحت تاثیر برخورد مایل امواج در طول خط ساحلی شکل می‌گیرند.

جریان عمومی آب دریا با تغییر سرعت فصلی باد به صورت یک حرکت چرخشی برخلاف عقربه‌های ساعت در دریای عمان و تنگه هرمز در سرتاسر سال وجود دارند. منشا این جریان‌ها وزش بادهای غالب و اختلاف وزن حجمی و تبخیر از سطح دریا است (نوحه‌گر، ۱۳۸۵: ۱۱۳).

در وزش بادهای موسمی جنوب غربی و در سطح

• اشکال مورفولوژیک در قاعده دلتاهای که در نتیجه جزو مد و جریان‌های کشنده ایجاد می‌شوند نظیر: خورها، تالاب‌ها و سبخاهای و کانال‌های جزر و مدنی.

### پهنه‌های تحت تاثیر جزر و مد

پهنه جزر و مدی حاشیه دریا به صورت کمربنده کم و بیش وسیعی از دهانه رودخانه میناب به سمت بندر عباس تا دهانه رودخانه طاس‌بر را در بر می‌گیرد. در این پهنه رشته‌ها و موانع ماسه‌ای قابل ملاحظه‌ای وجود دارد که در ارتباط با حجم بار واردۀ از رودخانه‌های مذکور و نوسان‌های ناشی از جزر و مد و جریانات مربوطه قابل توجیه هستند. بخشی از این رشته‌ها و موانع ماسه‌ای در امتداد بخش قدامی دلتای رودخانه میناب ایجاد شده‌اند و در اثر تجمع ماسه‌ها حدود ۲ متر از سطح آب‌های خلیج فارس ارتفاع یافته‌اند. همچنین خورهای متعددی در این منطقه وجود دارد. در امتداد سواحل تیاب و دلتای رودخانه حسن لنجی و نیز حدفاصل رودخانه‌های جلابی و شور نیز رشته‌ها و موانع ماسه‌ای وجود دارد که باعث تشکیل تالاب‌های منطقه شده‌اند. از دهانه رودخانه شور به سمت غرب به دلیل نزدیکی ارتفاعات با خط ساحل و افزایش شبی ساحلی از پهنه‌ای نوار جزر و مدنی کاسته می‌شود و به همین نسبت از ارتفاع رشته‌ها و موانع ماسه‌ای نیز کاسته می‌شود و این موانع اغلب به صورت برجستگی‌های کوچک که عمدتاً در زیر آب هستند تبدیل می‌شوند. ترکیب مواد تشکیل دهنده نیز تغییر یافته و عمدتاً از سیلت و ماسه‌های

امواج مایل جریانی موازی و در امتداد خط ساحلی ایجاد می‌شود که منجر به توزیع رسوبات و انتقال آنها در طول خط ساحلی می‌گردد. این جریان‌ها عامل اصلی در ایجاد پیکان‌های ساحلی، سدها و نظایر آن هستند.

### اشکال ژئومورفولوژیک منطقه ساحلی در قاعده دلتاهای

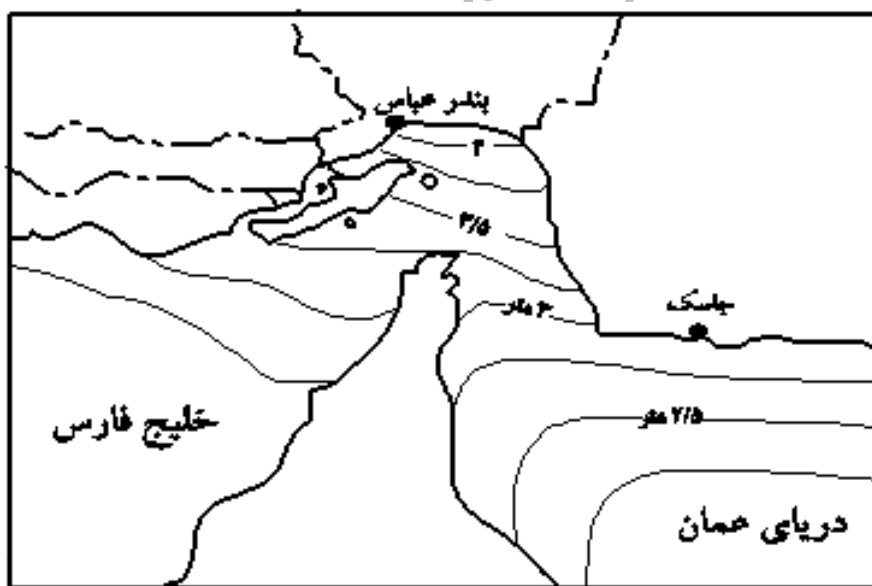
در اثر عملکرد مشترک حرکات آب دریا و نیز فرایندهای محیط خشکی اشکال بسیار متنوعی در منطقه ساحلی و در قاعده دلتاهای تشکیل می‌گردد. این اشکال در مقایسه با سایر اشکال ژئومورفولوژی بسیار پویا و فعال و متنوع هستند و به دلیل ویژگی محیطی خود از جمله منفصل و دانه ریز بودن مواد در دوره‌های نسبتاً کوتاه تری متحول می‌شوند. زیرا حرکات آب دریا به ویژه امواج ضمن مداومت از دینامیک بسیار فعال تری برخوردارند و در زمان کوتاه تری می‌توانند موجبات فرسایش و تحول خط ساحلی را در قاعده دلتاهای فراهم آورند. اشکال ژئومورفیک خط و پهنه ساحلی با توجه به شدت عملکرد فرآیندها و از طرفی توپوگرافی منطقه ساحلی به چند گروه طبقه بندی می‌شوند. این اشکال شامل انواع زیر می‌گردد.

- اشکال سواحل رسوبی و کم شبی دلتایی که در نتیجه جریان‌های ساحلی و امواج ایجاد می‌شوند شامل: فلشها و زبانه‌های ساحلی و سدهای ساحلی.
- اشکال ناشی از نقل و انتقال بادی شامل: تپه‌ها و رشته‌های ماسه‌ای ساحلی.

مورد مطالعه در شمال تنگه هرمز از بالاترین دامنه جزو مرد ( $5/4$  متر) نسبت به تمام ایستگاه‌های پیرامون خلیج فارس و دریای عمان بر خوردار است. به همین دلیل سطوح جزر و مدی و سبخه‌های ساحلی در این محدوده از گستردگی بسیار بالایی برخوردارند. شکل ۴ دامنه کشنده اطراف تنگه هرمز را نشان میدهد. همانگونه که در شکل نیز مشخص است دامنه کشنده در ورودی تنگه هرمز به  $3$  متر می‌رسد و در راس تنگه به  $5/4$  متر افزایش می‌یابد.

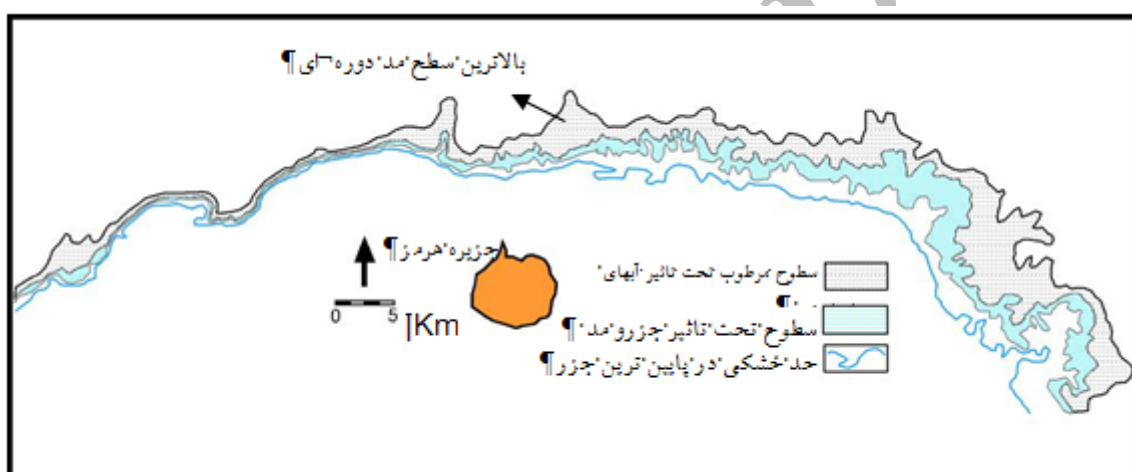
ریز تشکیل شده است و بیشتر مواد ریزدانه‌تر از جمله مواد رسی، تحت تأثیر جریانات جزر و مدی به سمت غرب (بندر خمیر) در امتداد ساحل جابجا می‌شوند. در این قسمت از ساحل مدخل رودخانه‌های موجود به صورت خورهای کم و بیش وسیعی دیده می‌شوند و در اثر عملکرد جزر و مد به سمت خشکی گسترش یافته‌اند (یمانی، ۱۳۷۸: ۷۴).

خلیج فارس به دلیل تمرکز در فضای باریک، از دامنه جزو مرد بالاتری نسبت به ایستگاه‌های پیرامون خود برخوردار است. تنگه هرمز و درست در محدوده



از آنجا که خط ساحلی سطح اساس آب‌های زیرزمینی نیز محسوب می‌گردد، بنابراین تا محدوده گسترهای از خط ساحلی تحت تاثیر آب‌های زیرزمینی به صورت سطوح مرطوب دیده می‌شود. این سطوح نیز به دلیل شور بودن آبهای زیرزمینی عمدتاً از پوشش گیاهی بسیار فقیر بوده یا پوشش ناچیزی از گیاهان شور پسند سطح آنها را پوشانیده است.

سطح جزر و مد سالانه و دوره‌ای میزان پیشروی آب ناشی از مد به بیش از چند کیلومتر می‌رسد. در پارهای از مناطق و در مجاورت خورها و بسترها قدمی رودخانه‌های اصلی این مقدار حتی به ۱۰ کیلومتر نیز در موارد استثنایی افزایش می‌یابد. شکل ۵ گستره‌ی پیش روی آب دریا به دلیل کشنده را نشان می‌دهد.



شکل ۵- گستره پهنه جزو مدی ، سطوح تالابی تحت تاثیر خروج آب‌های زیرزمینی و محدوده حد اکثر مد دوره‌ای را در امتداد خط ساحلی به صورت نوارهایی با پهنه‌ای متفاوت در قاعده دلتاها نشان می‌دهد.

در قسمت‌های قاعده دلتاها میزان شیب به کمتر از ۱/۰ درصد کاهش می‌یابد. با توجه به این شرایط شاید بیشترین تاثیر را بر روی محدوده خط ساحلی پدیده جزو مد دارد. با جابجا شدن امتداد خط ساحلی در نتیجه جزو مد، امواج و جریانهای ساحلی این امکان را پیدا می‌کنند که تاثیرات خود را بر روی خط ساحلی با ایجاد اشکال ژئومورفیک ساحلی ایفا نمایند. در اینجا تاثیر حرکات آب دریا بر روی خط و پهنه ساحلی مورد مطالعه به تفکیک جزر و مد، امواج و جریانهای ساحلی مورد بحث قرار گرفته است.

#### دینامیک آب دریا و عوامل تاثیرگذار در تحول قاعده دلتاها

از آنجا که سواحل تحت بررسی ( محل ورود رودخانه‌های مورد بررسی) از نوع سواحل دلتایی می‌باشند بنابراین شیب آنها بسیار اندک ماست. بر اساس اندازه‌گیری بر روی نقشه‌های ۱:۲۵۰۰۰ منطقه، شیب عمومی این دلتاها از خط تغییر شیب پای کوهستان تا خط ساحلی به طور متوسط کمتر از ۰/۲ درصد است. هر قدر از کوهستان به سوی خط ساحلی حرکت کنیم به تدریج از میزان شیب کاسته می‌شود به طوری که

ساعت ۹/۳۰ و ۲/۳۰ رُخ میدهد و دامنه آن از حداقل حدود ۵۰ سانتی‌متر تا ۳/۵ متر تغییر می‌یابد. قابل ذکر است که بیشترین میزان نوسان کشنده مربوط به ماه آوریل است و دامنه نوسان سطح آب به بیش از چهار متر در شبانه روز می‌رسد.

نیروهای جزر و مدی در خلیج فارس بسیار قوی اند، به خصوص در مجاورت دهانه اروندرود، که جزر و مد می‌توانند تغییرات بیشتر از ۱/۵ متر داشته باشد (کانتا و همکاران، ۱۹۹۴). جریان‌های جزر و مدی با قرار گرفتن به موازات محور خلیج فارس به سرعت‌هایی حدود ۵/ متر بر ثانیه تا عمق ۴ متری بالای کف می‌رسند (آزرم سا و همکاران، ۱۳۸۷). گاهی سرعت این جریان‌ها در کانال‌های ابوظبی ۶/ متر بر ثانیه و حتی در تنگه هرمز تا ۲ متر بر ثانیه گزارش شده است (خالقی زواره، ۱۹۹۲).

با توجه به دامنه کشنده و از طرفی شبیب کم قاعده دلتاهای میزان پیشروعی آب ناشی از جزر و مد در شرایط حداکثر مد ماهانه به بیش از چند کیلومتر در شبانه روز می‌رسد. تحت تاثیر این شرایط سبخای بسیار وسیعی در امتداد خط ساحلی محدوده تحت بررسی تشکیل شده است که این محدوده را عملاً غیر قابل بهره برداری انسانی نموده است (شکل ۵).

### اثر جزر و مد در مورفولوژی ساحلی منطقه

جزر و مد از پدیده‌های هیدرودینامیکی دریاهای آزاد است و در اعمال مختلف مکانیکی و شیمیائی و زیستی در محیط ساحلی مؤثر می‌باشد. بالا آمدن سطح آب در موقع مدد موجب به زیر آب رفتن سطح وسیعی از خشکی ساحلی و سپس خارج شدن مجدد این سطوح از زیر آب در نتیجه جزر است. تکرار این پدیده موجب قرار گرفتن این سطوح در معرض فرایندهای جوی و پیدایش محیط مورفولوژی ویژه‌ای می‌شود که در اینجا مورد بحث قرار گرفته است (چورلی و همکاران، ۱۹۸۵: ۳۲۳).

با توجه به گردش ماه به دور زمین و در ارتباط با حرکت وضعی زمین، مناطق به تدریج در هر ۲۴ ساعت و ۵۴ دقیقه در معرض ماه قرار می‌گیرد. بنابراین، تواتر حزرو مد در طول سال ثابت نیست و در هر روز نسبت به روز قبل اندکی با تاخیر اتفاق می‌افتد. جدول‌های ۱، ۲ و ۳ وضعیت میانگین ماهیانه، فصلی و سالیانه کشنده را بر حسب سانتی متر طی ساعات مختلف شبانه روز برای ایستگاه بندرعباس نشان می‌دهد. با توجه به جداول مذکور و شکل ۶ و ۷ ملاحظه می‌شود که به طور میانگین در طی فاصله‌های زمانی نیم ساعته و در ساعات شبانه روز دو مرتبه جزر طی ساعات ۴ و ۱۶ و دو مرتبه مد طی

جدول ۱- میانگین ماهانه کشند بر حسب ساعتی متر طی ساعات مختلف شبانه روز برای ایستگاه بندرعباس (ژانویه-ژوئن)

ژوئن		صی		آوریل		مارس		فوریه		ژانویه		ماه ساعت
محاسبه شده	اندازه گیری شده											
۲۵.۰۴	۲۸.۴۴	۴۱.۵۰	۴۲.۱۸	۶۵.۷۷	۵۹.۹۳	۱۶۸.۵۲	۷۱.۹۰	۷۷.۴۰	۶۰.۹۱	۷۲.۵۱	۵۴.۰۷۳	۰
۱۰.۹۳	۱۶.۰۰	۲۳.۵۶	۲۷.۳۰	۴۴.۷۷	۴۳.۵۷	۱۵۱.۱۳	۶۰.۱۰	۷۹.۳۹	۵۷.۰۹	۶۸.۴۴	۵۶.۱۳	۱
-۱.۱۸	۴.۹۲	۷.۸۴	۱۳.۲۱	۲۲.۵۸	۲۶.۶۶	۱۲۱.۹۰	۴۰.۰۵	۵۸.۱۱	۴۹.۱۰	۶۰.۸۲	۵۰.۷۱	۲
-۸.۳۵	-۳.۵۴	-۱.۸۱	۳.۹	۸.۰۲	۱۲.۴۳	۸۷.۹۴	۳۰.۰۵	۴۵.۸۱	۴۰.۰۸	۵۱.۹۲	۴۴.۹۵	۳
-۸.۲۵	-۶.۱۴	-۴.۱۶	-۱.۳۵	۰.۷۴	۴.۰۴	۵۷.۳۵	۱۹.۰۷	۳۶.۲۹	۳۳.۱۳	۴۴.۱۸	۳۹.۷۵	۴
-۲.۲۹	-۳.۱۸	۱.۰۶	۰.۴۰	۲.۹۳	۳.۰۶	۳۸.۰۶	۱۲.۸۴	۳۰.۴۸	۲۸.۰۸	۳۸.۷۷	۳۵.۴۸	۵
۸.۶۴	۳.۷۱	۱۱.۹۰	۷.۱۷	۱۳.۰۱	۸.۶۱	۳۴.۹۷	۱۲.۱۴	۲۹.۲۰	۲۶.۰۲	۳۶.۴۰	۳۳.۱۲	۶
۲۳.۱۳	۱۴.۱۷	۲۵.۳۶	۱۷.۰۷	۲۸.۰۸	۱۹.۲۳	۴۰.۰۶	۱۷.۷۰	۳۱.۵۱	۲۷.۴۹	۳۸.۰۶	۳۳.۷۶	۷
۳۷.۰۵	۲۵.۰۳	۳۸.۲۷	۲۷.۰۰	۴۲.۸۶	۳۰.۷۶	۶۳.۴۲	۲۶.۰۱	۳۵.۰۴	۳۰.۱۱	۳۹.۰۷	۳۴.۶۴	۸
۴۹.۳۱	۳۴.۷۹	۴۸.۷۹	۳۵.۳۲	۵۴.۷۸	۴۰.۲۶	۸۶.۰۱۳	۳۵.۲۴	۳۷.۸۰	۳۲.۱۰	۳۹.۴۳	۳۵.۲۰	۹
۵۶.۴۳	۴۰.۹۵	۵۴.۶۷	۴۰.۴۹	۵۹.۰۵	۴۴.۵۶	۱۰۰.۷۱	۴۰.۸۰	۳۴.۸۸	۳۰.۷۱	۳۳.۶۶	۳۱.۷۸	۱۰
۶۱.۷۷	۴۵.۷۲	۵۷.۶۵	۴۳.۶۸	۵۸.۹۹	۴۵.۸۳	۱۱۶.۸۱	۴۲.۹۱	۳۰.۳۱	۲۷.۰۰	۲۴.۶۷	۲۰.۴۶	۱۱
۶۴.۲۸	۴۸.۰۲	۵۶.۶۳	۴۲.۹۱	۵۲.۶۴	۴۱.۲۶	۱۱۳.۴۵	۳۷.۹۰	۲۷.۰۷	۱۹.۰۱	۱۱.۱۲	۱۴.۷۱	۱۲
۶۵.۰۲	۴۹.۴۹	۵۴.۶۴	۴۱.۹۹	۴۴.۷۸	۳۰.۰۷	۹۹.۴۸	۲۹.۲۷	۸.۱۸	۸.۷۹	-۴.۰۱	۲.۲۷	۱۳
۶۶.۲۹	۵۰.۱۶	۵۳.۲۳	۴۱.۱۵	۳۸.۱۳	۲۹.۲۹	۷۷.۹۴	۱۹.۸۵	-۲.۳۲	-۱.۰۰	-۱۷.۹۲	-۱۰.۹۱	۱۴
۶۶.۱۲	۵۰.۸۶	۵۴.۲۶	۴۱.۸۲	۳۶.۳۴	۲۶.۸۶	۵۵.۹۰	۱۲.۲۳	-۸.۲۴	-۸.۷۲	-۲۵.۰۸	-۱۹.۸۰	۱۵
۶۷.۸۳	۵۲.۰۸	۵۷.۶۴	۴۵.۰۴	۳۹.۹۶	۳۸.۸۲	۴۰.۰۲	۹.۳۸	-۶.۸۷	-۱۰.۴۹	-۲۶.۰۳	-۲۳.۰۳	۱۶
۶۸.۴۹	۵۳.۸۱	۶۳.۴۶	۵۰.۳۴	۴۹.۹۸	۳۵.۹۷	۳۷.۰۳	۱۲.۹۲	۲.۳۰	-۰.۶	-۲۰.۱۴	-۲۱.۶۷	۱۷
۶۶.۷۰	۵۵.۱۴	۷۰.۰۱	۵۶.۸۴	۶۴.۸۵	۴۷.۲۳	۴۶.۰۵	۲۲.۲۰	۱۷.۳۶	۴.۹۳	-۶.۷۹	-۱۳.۹۹	۱۸
۶۶.۰۲	۵۶.۲۴	۷۰.۹۲	۶۳.۲۲	۷۹.۸۷	۶۱.۰۰	۶۹.۹۰	۳۷.۱۲	۳۶.۲۵	۲۰.۰۰	۱۲.۳۶	-۰.۲۸	۱۹
۶۶.۱۳	۵۶.۹۰	۷۹.۶۱	۶۷.۱۷	۹۲.۱۱	۷۲.۱۷	۱۰۰.۶۵	۵۲.۷۳	۵۰.۱۶	۳۵.۲۹	۳۱.۹۹	۱۴.۷۷	۲۰
۵۹.۹۲	۵۴.۸۶	۷۷.۷۵	۶۷.۸۰	۹۸.۸۰	۷۹.۵۷	۱۳۱.۱۹	۶۶.۱۶	۷۱.۲۷	۴۹.۰۵	۵۰.۳۹	۳۰.۰۰	۲۱
۵۱.۴۰	۴۹.۳۲	۷۹.۹۸	۶۳.۱۹	۹۰.۷۸	۸۰.۰۴	۱۵۶.۸۴	۷۰.۶۱	۸۱.۰۳	۵۹.۸۸	۷۳.۹۰	۴۲.۶۲	۲۲
۳۸۸۷	۳۹.۷۲	۵۶.۵۴	۵۳.۷۱	۸۳.۶۴	۷۲.۹۷	۱۷۰.۲۹	۷۷.۸۶	۸۲.۹۴	۶۳.۹۴	۷۱.۲۹	۵۰.۸۸	۲۳

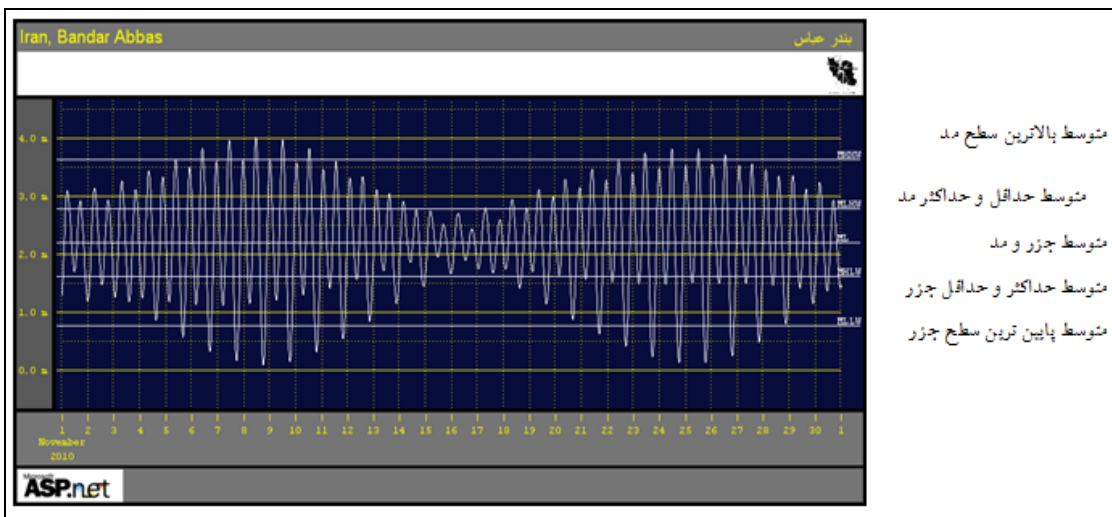
جدول ۲- میانگین ماهانه کشند بر حسب ساعتی متر طی ساعات مختلف شبانه روز برای ایستگاه بندرعباس (جوالی- دسامبر)

دسامبر	نومبر		اکتبر		سپتامبر		اگوست		جولای		ماه ساعت	
	محاسبه شده	اندازه گیری شده										
۵۷.۲۳	۴۰.۲۶	۴۰.۷۶	۲۹.۳۴	۲۸.۱۹	۲۱.۷۸	۲۴.۳۱	۲۱.۳۷	۲۳.۰۷	۲۴.۲۲	۱۳.۲۲	۱۶.۳۲	۰
۵۶.۰۰	۴۱.۴۵	۳۶.۵۹	۲۶.۲۶	۲۰.۴۳	۱۵.۳۳	۱۲.۴۴	۱۱.۷۵	۱۲.۲۵	۱۴.۶۳	۱.۳۲	۵.۷۱	۱
۵۴.۱۹	۴۱.۷۱	۳۳.۷۷	۲۴.۳۳	۱۶.۷۹	۱۰.۲۱	۱.۸۸	۲.۱۸	۱.۶۴	۴.۷۸	-۹.۶۴	-۴.۲۱	۲
۵۲.۰۲	۴۰.۸۳	۳۴.۰۵	۲۴.۵۵	۱۳.۷۴	۸.۲۶	-۳.۲۵	-۳.۸۶	۴.۹۳	-۲.۷۲	-۱۵.۸۵	-۱۱.۹۱	۳
۵۰.۴۷	۴۰.۴۴	۳۸.۰۷	۲۷.۶۱	۱۸.۳۹	۱۱.۱۰	-۰.۷۳	-۴.۰۶	۵.۰۸	-۵.۲۳	-۱۰.۷۰	-۱۴.۴۰	۴
۵۰.۱۲	۴۰.۹۶	۴۰.۱۹	۳۳.۵۵	۲۸.۰۷	۱۸.۶۸	۹.۰۵	۲.۴۶	۲.۳۷	-۱.۶۸	-۸.۵۸	-۱۱.۰۱	۵
۵۰.۱۵	۴۱.۴۲	۵۳.۸۳	۴۰.۹۷	۴۲.۴۲	۲۹.۰۵	۲۶.۶۳	۱۴.۷۲	۱۸.۳۰	۹.۲۴	۳۸۲	-۳.۰۰	۶
۵۰.۱۶	۴۲.۱۰	۶۱.۰۸	۴۷.۰۹	۵۶.۲۰	۴۱.۲۰	۴۶.۶۰	۳۰.۸۱	۳۰.۷۷	۲۳.۰۰	۱۹.۴۰	۸.۲۲	۷
۴۸.۸۹	۴۱.۸۴	۶۴.۹۷	۵۳.۲۸	۶۷.۴۰	۵۲.۳۷	۶۳.۷۸	۴۶.۲۰	۵۳.۰۹	۳۷.۵۵	۳۵.۶۰	۲۱.۶۷	۸
۴۴.۲۸	۴۹.۱۲	۶۲.۳۰	۵۳.۳۵	۷۱.۶۶	۵۸.۲۳	۷۰.۶۳	۵۷.۸۴	۷۰.۴۸	۵۲.۰۰	۵۱.۱۱	۳۳.۸۷	۹
۳۴.۰۰	۳۳.۰۹	۵۱.۴۸	۴۷.۳۴	۶۶.۳۴	۵۷.۰۳	۷۸.۳۶	۶۲.۸۲	۷۹.۶۳	۶۲.۱۴	۶۱.۰۸	۴۳.۹۳	۱۰

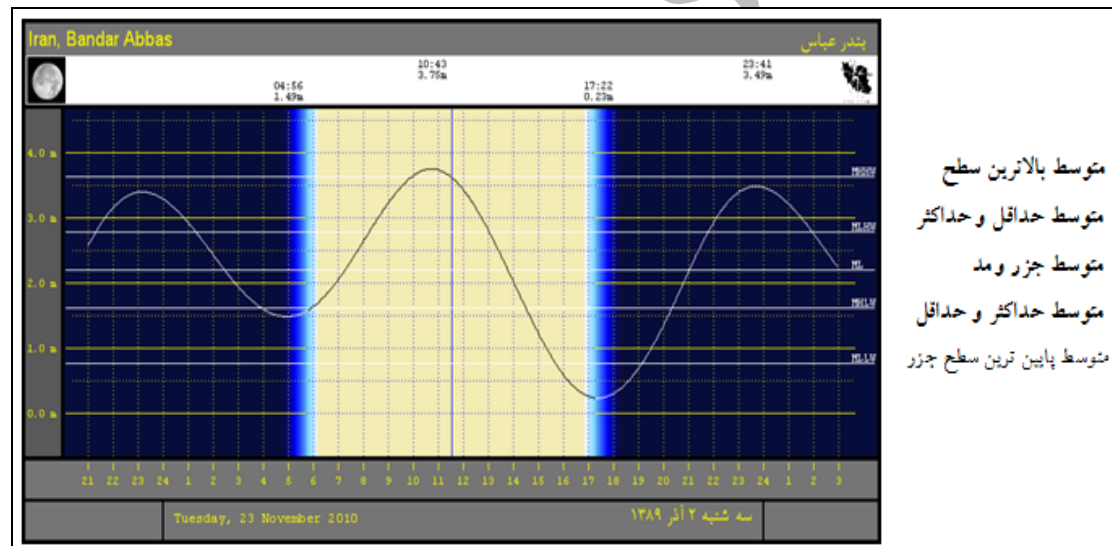
۲۰.۳۲	۲۲.۳۰	۲۳.۸۹	۳۴.۸۹	۵۳.۰۳	۴۸.۹۴	۷۳.۳۷	۶۱.۸۱	۸۲.۴۹	۶۶.۴۰	۶۶.۷۲	۵۰.۰۵	۱۱
۴.۲۶	۹.۳۷	۱۳.۳۴	۱۸.۵۷	۳۰.۱۲	۳۰.۵۴	۶۰.۰۱	۵۳.۷۵	۷۸.۷۵	۶۵.۶۴	۶۷.۵۳	۵۲.۱۹	۱۲
-۱۱.۸۰	-۴.۶۴	-۷.۴۲	۱.۸۱	۱۰.۲۰	۱۹.۶۸	۴۲.۸۵	۴۰.۸۸	۶۹.۳۳	۶۰.۲۸	۶۵.۲۵	۵۲.۰۵	۱۳
-۲۲.۰۵	-۱۶.۲۷	-۲۱.۱۷	-۲.۱۸	-۲.۳۷	۴.۷۹	۲۰.۳۱	۲۷.۰۸	۵۶.۸۷	۵۲.۰۷	۶۰.۱۸	۴۹.۰۶	۱۴
-۶.۷۸	-۲۲.۷۹	-۲۶.۰۰	-۲۰.۶۳	-۱۳.۷۱	-۶.۵۶	۱۰.۷۲	۱۵.۱۱	۴۴.۴۳	۴۲.۴۲	۵۴.۰۰	۴۵.۹۸	۱۵
-۲۶.۵۲	-۲۴.۸۹	-۲۶.۲۵	-۲۲.۹۷	-۱۷.۱۸	-۱۱.۸۰	۲.۴۵	۶.۸۵	۳۴.۵۴	۳۴.۴۸	۴۹.۲۳	۴۲.۹۹	۱۶
-۱۸.۲۲	-۲۱.۰۷	-۱۷.۰۴	-۱۹.۰۷	-۱۲.۸۳	-۱۰.۶۷	۱.۷۷	۳.۹۵	۲۹.۱۴	۲۹.۶۱	۴۰.۳۱	۴۰.۲۶	۱۷
-۳.۰	-۱۱.۸۷	-۲.۵۵	-۹.۱۹	۰.۱۵	-۳.۳۵	۸.۱۸	۶.۸۷	۲۸.۶۵	۲۷.۸۱	۴۲.۶۷	۳۸.۲۵	۱۸
۱۳.۰۵	-۰.۰۱	۱۴.۰۳	۳.۲۱	۱۰.۱۸	۷.۵۴	۱۸.۰۶	۱۳.۹۶	۳۱.۶۲	۲۹.۲۰	۴۱.۱۸	۳۷.۰۹	۱۹
۲۹.۶۸	۱۳.۱۱	۳۰.۱۷	۱۶.۱۹	۲۷.۸۷	۱۸.۱۲	۲۹.۶۶	۲۲.۶۳	۳۶.۹۶	۳۳.۲۳	۴۱.۸۶	۳۷.۷۳	۲۰
۴۳.۰۵	۲۴.۰۱	۴۰.۶۷	۲۰.۶۶	۳۶.۰۶	۲۵.۸۸	۳۷.۰۱	۲۸.۸۳	۴۰.۸۷	۳۶.۵۸	۳۹.۵۸	۳۶.۷۸	۲۱
۵۲.۳۶	۳۲.۳۰	۴۵.۷۴	۳۰.۹۶	۳۹.۰۶	۲۹.۱۳	۳۸.۷۷	۳۱.۴۹	۳۹.۱۳	۳۶.۶۳	۳۳.۷۶	۲۲.۸۴	۲۲
۵۷.۳۵	۳۸.۰۲	۴۰.۹۰	۳۲.۲۹	۳۵.۸۵	۲۷.۵۹	۳۳.۹۷	۲۸.۶۵	۳۳.۴۲	۳۱.۹۹	۲۳.۰۴	۲۴.۹۱	۲۳

جدول ۳- میانگین فصلی و سالانه جزر و مد بر حسب ساعتی متر طی ساعات مختلف شبانه روزی برای ایستگاه بندرعباس

سالانه	پاییز		تابستان		بهار		زمستان		ماه	ساعت
	محاسبه شده	اندازه گیری								
۵۳.۱۶	۳۹.۰۲۸	۴۲.۰۶	۳۰.۴۶	۲۰.۳۷	۲۰.۶۴	۴۴.۰۷	۴۳.۵۲	۱۰۶.۱۶	۶۲.۵۱	۰
۴۲.۲۷	۳۱.۰۷	۳۷.۸۴	۲۷.۶۸	۸.۶۷	۱۰.۷۹	۲۶.۲۵	۲۸.۹۶	۹۶.۱۲	۵۶.۹۴	۱
۳۰.۶۳	۲۲.۳۷	۳۶.۲۲	۲۰.۳۹	-۲.۰۴	۰.۸۸	۱۰.۰۸	۱۴.۹۳	۸۰.۲۸	۴۸.۲۷	۲
۲۱.۰۲	۱۰.۲۷	۳۳.۲۷	۲۴.۰۵	-۸.۰۱	-۷.۱۶	-۰.۷۲	۳.۹۹	۷۱.۰۵	۳۸.۶۹	۳
۱۷.۶۳	۱۱.۹۹	۳۰.۶۴	۲۶.۳۸	-۷.۱۷	-۷.۹۰	-۳.۸۹	-۱.۱۵	۴۰.۹۴	۳۰.۶۱	۴
۱۹.۷۱	۱۳.۳۰	۴۱.۳۰	۳۱.۰۷	۱.۲۱	-۳.۴۱	۰.۰۷	۰.۰۹	۳۵.۷۷	۲۵.۴۷	۵
۲۷.۴۴	۱۸.۶۲	۴۸.۸۰	۳۷.۳۱	۱۶.۲۵	۶.۹۸	۱۱.۱۸	۶.۴۳	۳۳.۵۴	۲۳.۷۶	۶
۳۸.۴۴	۲۸.۸۶	۵۰.۹۸	۴۳.۶۳	۳۳.۸۹	۲۰.۶۸	۲۰.۷۹	۱۶.۸۲	۳۸.۲۱	۲۶.۳۲	۷
۴۹.۱۶	۳۰.۰۵	۶۰.۴۲	۴۹.۰۷	۰.۹۹	۳۰.۰۷	۲۹.۳۹	۷۷.۰۶	۴۵.۸۴	۳۰.۴۲	۸
۵۷.۶۵	۴۲.۲۹	۵۹.۴۱	۵۰.۲۳	۶۰.۷۴	۴۷.۹۰	۵۰.۹۶	۳۶.۷۹	۵۴.۴۷	۳۴.۲۵	۹
۵۹.۷۵	۴۴.۶۴	۵۰.۷۷	۴۵.۸۲	۷۳.۰۲	۵۶.۳۰	۵۶.۷۱	۴۲.۰۰	۵۸.۰۸	۳۴.۴۳	۱۰
۵۶.۷۱	۴۲.۹۶	۳۰.۹۱	۳۰.۳۸	۷۴.۱۹	۵۹.۶۲	۵۹.۴۷	۴۰.۰۸	۵۷.۲۶	۳۱.۹۶	۱۱
۴۸.۱۰	۳۶.۵۸	۱۰.۵۷	۲۱.۱۶	۶۸.۷۶	۵۷.۱۹	۵۷.۸۵	۴۴.۰۶	۴۸.۲۱	۲۲.۸۹	۱۲
۳۶.۸۷	۲۸.۰۹	-۱.۰۱	۰.۷۶	۵۹.۱۴	۵۱.۰۷	۵۴.۸۱	۴۲.۱۸	۳۴.۰۵	۱۳.۴۱	۱۳
۲۵.۸۰	۱۹.۴۵	-۱۰.۳۷	-۷.۹۲	۴۷.۴۵	۴۳.۰۷	۵۱.۸۸	۴۰.۲۰	۱۹.۳۳	۲.۴۶	۱۴
۱۸.۳۳	۱۳.۰۷	-۲۲.۳۵	-۱۶.۶۲	۳۶.۰۵	۳۴.۰۰	۵۱.۵۸	۳۹.۸۵	۷.۰۳	-۰.۴۳	۱۵
۱۰.۶۰	۱۰.۴۹	-۲۲.۳۲	-۱۹.۹۰	۲۸.۷۴	۲۸.۱۰	۵۳.۸۱	۴۱.۹۸	۲.۳۷	-۸.۲۱	۱۶
۱۸.۷۴	۱۲.۳۵	-۱۶.۲۰	-۱۷.۱۰	۲۰.۴۴	۲۲.۰۴	۵۹.۳۱	۴۶.۷۱	۶.۴۰	-۴.۷۳	۱۷
۲۷.۰۴	۱۸.۶۱	-۱.۹۷	-۸.۱۳	۲۶.۰۰	۲۴.۳۱	۶۶.۶۰	۵۳.۰۷	۱۹.۰۴	۴.۳۸	۱۸
۳۹.۶۰	۲۷.۳۶	-۱۴.۴۲	۳.۰۸	۳۰.۴۰	۲۶.۷۵	۷۳.۴۳	۷۰.۱۶	۳۹.۰۰	۱۸.۹۰	۱۹
۵۱.۶۹	۳۶.۶۶	۲۹.۲۴	۱۵.۸۰	۳۶.۱۵	۳۱.۳۰	۷۸.۷۸	۶۵.۴۳	۶۲.۷۰	۳۴.۲۳	۲۰
۶۰.۰۹	۴۳.۸۵	۴۰.۰۹	۲۰.۳۵	۳۹.۱۵	۳۴.۰۶	۷۸.۸۲	۷۷.۴۱	۸۴.۲۸	۴۸.۵۷	۲۱
۶۳.۹۷	۴۷.۰۸	۴۰.۷۲	۳۱.۱۳	۳۷.۷۵	۳۳.۷۰	۷۲.۳۵	۶۴.۱۸	۱۰۰.۰۹	۵۹.۳۷	۲۲
۶۱.۱۳	۴۰.۲۵	۴۶.۳۷	۳۲.۸۰	۳۰.۳۱	۲۸.۰۲	۵۹.۷۸	۵۵.۴۶	۱۰۸.۱۷	۶۴.۲۳	۲۳



شکل ۶- وضعیت ماهانه چزر و مد در مدت ۱۰ آبان تا ۱۰ آذر (نوامبر) سال ۱۳۸۹ برای ایستگاه بندرعباس



شکل ۷- وضعیت روزانه چزر و مد در مدت ۱۰ آبان تا ۱۰ آذر (نوامبر) سال ۱۳۸۹ برای ایستگاه بندرعباس

آنها نیز مؤثر هستند و امکان ایجاد جریان‌های دریایی شبیه آب‌های آزاد را محدود می‌سازند و به همین نسبت نیز نقش بسیار اندکی در فرسایش ساحلی دارند.

جریان‌های عمدۀ آب موجود در محدوده مورد مطالعه مربوط به جریان‌های برگشتی ناشی از شکست امواج، تخلیه آب رودخانه‌ها به صورت فصلی، جریان‌های ثقلی، جابجایی آب در سطح و عمق

اثر جریان‌ها در تغییرات مورفولوژی ساحلی منطقه جریان‌ها از دیگر فرایندهای فرسایش هیدرودینامیک دریایی در محیط ساحلی هستند. این جریان‌ها ممکن است در اثر پدیده‌های مختلفی از جمله: وزش باد، امواج، کشندها، نیروی جاذبه زمین و یا ناشی از تخلیه آب توسط رودخانه‌ها ایجاد شوند. در تنگه هرمز عواملی که موجب تضعیف قدرت امواج می‌شوند در ارتباط با ایجاد جریان‌ها و قدرت

در تشکیل باد رفت‌ها و تلماسه‌ها و اشکال مختلف ماسه‌ای در سواحل و ورای آن مؤثر است. در محدوده مورد مطالعه رشته‌ها و پشتله‌های ماسه‌ای و سدهای ساحلی موجود بر سطح استران‌ها و نیز بخش پیشکرانه (سواحل دلتای رودخانه‌های شمال تنگه و مابین مصب رودخانه زرانی تا رودخانه شور) در اثر جریان‌های موازی با ساحل گسترش می‌یابند. بخش زیادی از این ماسه‌های بادی با منشا ساحلی تا امتداد جاده بندر عباس به میناب گسترش یافته‌اند.

جریان‌های برگشتی آب در زمان وقوع جزر علاوه بر حمل و جابجایی مواد تخربی یافته در سطح استران که در اثر فرایندهای هوازدگی ایجاد می‌شوند، نقش موثری در سایش و فرایندهای کاوشی سطح استران ایجاد می‌نمایند. فشار حاصل از حجم قابل توجه آب در اثنای مدد و از بین رفتن آن در اثنای جزر از دیگر عوامل تخربی و فرسایش محیط ساحلی است و موجب گسترش درز و شکاف‌های موجود در سنگ‌ها می‌شود.

جریان‌های ناشی از تخلیه آبهای خشکی (رودخانه‌ها) به دریاها نیز جریان‌هایی (حرکت افقی و قائم) ایجاد می‌کنند. در محدوده خلیج فارس و تنگه هرمز جریان عمده در رابطه با ورود آب رودخانه اروندرود ایجاد می‌شود و همراه با جریان ناشی از کشنید در امتداد ساحل جنوبی آن گسترش می‌یابد و در محدوده جزایر ایرانی تنب بزرگ و کوچک و ابوموسی به سمت شمال و شمال‌غرب منحرف می‌شود و یک سیکل چرخشی ایجاد می‌کند.

لازم به ذکر است که با دور شدن از تنگه هرمز، اختلاف چگالی بین آب شیرین در سمت ایران و آب شور در سمت عربی به علت ورود روان آب رودها

دریاها و به ویژه جریان‌های جزر و مداری و بالآخره جریان آب وارد از دریای عمان و اقیانوس هند به خلیج فارس که حجم قال توجهی از آب خود را در اثر تبخیر از دست میدهد، هستند.

بنابر بررسی‌های صورت گرفته گردش آب در خلیج فارس از سمت سواحل ایران در شمال خلیج فارس به سمت انتهای غربی خلیج فارس (حوالی دهانه ارونده رود و سواحل کویت) است که سپس از سمت سواحل جنوبی (سمت بحرین و قطر) مجدداً به سمت تنگه هرمز باز می‌گردد (سویفت و باور، ۲۰۰۳). با توجه به نحوه گردش آب در خلیج فارس به نظر می‌رسد یکی از مهم‌ترین موارد گردش آب در خلیج فارس ناشی از آب جریان یافته با شوری نسبتاً کمتر (PSU ۴۰-۴۱) می‌شود و از مناطق وسیع کم عمق سواحل کشورهای عربی حاشیه جنوبی خلیج به سمت تنگه هرمز و دریای عمان در حال جریان است (جان و همکاران، ۱۹۹۰). به علت عمق کم در مجاور بحرین و قطر درجه شوری آب می‌تواند تا حد PSU ۵۰ نیز افزایش یابد (جان و همکاران، ۱۹۹۰).

جریان‌های ناشی از شکست و برگشت امواج در رابطه با جهت حرکت امواج و برخورد به ساحل و توپوگرافی آن گسترش می‌یابد. امواج مایل پس از برخورد به ساحل، در امتداد ساحل جریان‌های آب موازی با ساحل ایجاد می‌کنند. در محدوده مورد مطالعه جهت عمومی جریان‌ها در سواحل شمالی تنگه هرمز، اغلب از شرق به غرب و در سواحل شرقی آن از جنوب به شمال است و باعث جابجایی نسبی رسوبات در طول ساحل می‌گردد. این رسوبات در اثنای جزر در معرض بادهای ساحلی قرار می‌گیرد و

### نتیجه‌گیری

با استفاده از هیدرودینامیک دریا در محدوده مورد مطالعه، وضعیت جریان‌های جزر و مدی، امواج دریا و جریان‌های دریابی مورد بررسی قرار گرفته و در نهایت وضعیت فرسایش اعم از تخریب، جابجائی رسوب و رسوبگذاری در پهنه ساحلی مورد مطالعه مورد تجزیه و تحلیل قرار گرفته است.

با توجه به بررسی‌های به عمل آمده در منطقه، در اثر عملکرد مشترک حرکات آب دریا و نیز فرایندهای محیط خشکی اشکال سواحل رسوبی و کم شیب دلتایی نظیر فلش‌ها و زبانه‌های ساحلی و سدهای ساحلی، در نتیجه جریان‌های ساحلی و امواج، اشکال ناشی از نقل و انتقال بادی مانند تپه‌ها و رشته‌های ماسه‌ای ساحلی و همچنین اشکال مورفولوژیک در قاعده دلتاهای نظیر خورها، تالاب‌ها و سبخاهای کانال‌های جزر و مدی در منطقه ساحلی و در قاعده دلتاهای تشکیل گردیده است.

در تحول مورفولوژی خط ساحلی در قاعده دلتاهای منطقه، حرکات آب شامل امواج، جزر و مد و جریانهای ساحلی و دریابی تاثیرگذار می‌باشد که در این میان امواج نقش مهمتری را در شکل گیری و توپوگرافی ساحل به عهده دارند و دو عامل دیگر نقش واسطه یا تکمیل کننده را ایفا می‌کنند. اما در قسمتهای قاعده دلتاهای بدیله اینکه میزان شیب به کمتر از ۰/۰۱ در صد کاهش می‌یابد بیشترین تاثیر را بر روی محدوده خط ساحلی پدیده جزو مد دارد. با جابجا شدن امتداد خط ساحلی در نتیجه جزو مد، امواج و جریان‌های ساحلی این امکان را پیدا می‌کنند

با دما و شوری کم از طریق دلتای اروندرود کاهش می‌یابد. گردش آب‌های خلیج فارس شامل جریان ورودی آب‌ها از طریق تنگه هرمز با شوری معمول دریای آزاد و دمای پایین تر از دمای آب‌های سطح خلیج فارس، ریزش آب‌های چگال در نیمه جنوبی خلیج فارس و خروج جریان آب‌های شور و گرم در عمق از طریق تنگه هرمز است (سویفت و باور، ۲۰۰۲). سرعت جریان سطحی در بهار و پاییز حدود ۱/ متر بر ثانیه و در تابستان حدود ۲/ متر بر ثانیه است (جعفریان و علی‌اکبر پیدختی، ۱۳۸۶). در محدوده مورد مطالعه رودخانه‌های عمده به ترتیب از غرب به شرق عبارتند از: شور، جلابی، حسن‌لنگی. اغلب این رودخانه‌ها آبدهی بسیار اندک و جریان فصلی دارند. با این وصف با توجه به جریان ناشی از چرخه آب در خلیج فارس که در امتداد سواحل شمالی تنگه هرمز آب تازه از سمت اقیانوس هند و دریای عمان به سمت خلیج فارس جریان می‌یابد و در امتداد سواحل جنوبی آب شور و سنگینی تخلیه می‌شود، جریان آنها موجب انحراف کلی جریان‌های ورودی به سمت شمال، شمال غرب و غرب در محدوده مورد مطالعه می‌شود. جریان حاصله از انتقال آب از دریای عمان به خلیج فارس می‌تواند در فرساش ساحلی و ایجاد اشکال در قاعده دلتاهای تاثیرگذار باشد. جریان‌های ثقلی نیز در اعماق تنگه هرمز اتفاق می‌افتد و موجب جریان و خوش آب شور و سنگین خلیج فارس در اعماق به سمت اعماق اقیانوس هند می‌شود و در جریان‌های ساحلی نقشی ندارد (بنازاده و همکار، ۱۳۷۳).

دانه کار، افшин، (۱۳۸۰)، بررسی وضعیت رسوبگذاری در عرصه های جنگلی حرا رساله مقطع دکتری، دانشگاه تربیت مدرس.

مجموعه مقالات اولین سمینار علوم و فنون دریایی و جوی ایران، (۱۳۷۲)، دانشگاه تربیت مدرس، تهران.

مجموعه مقالات دومین سمینار علوم و فنون دریایی و جوی ایران، (۱۳۷۳)، دانشگاه شهید چمران، اهواز سازمان جغرافیایی نیروهای مسلح، عکس های هوایی ۱:۵۵۰۰۰ سال ۱۳۳۴.

سازمان جغرافیایی نیروهای مسلح، نقشه های ۱:۵۰۰۰۰ و ۱:۲۵۰۰۰ استان هرمزگان.

سازمان حفاظت محیط زیست استان هرمزگان، (۱۳۷۹)، گزارش مناطق حفاظت شده و تالاب های بین المللی استان هرمزگان.

سازمان نقشه برداری کشور، اداره آبنگاری، داده های جزرومد نیم ساعته ایستگاه بندر شهید رجایی سال های ۲۰۰۰ و ۲۰۰۱.

سازمان نقشه برداری کشور، عکس های هوایی ۱:۴۰۰۰۰ سال ۱۳۷۴.

سازمان نقشه برداری کشور، نقشه های رقومی ۱:۲۵۰۰۰ بلوك های بندر عباس، بندر لنگه، میناب - سازمان هواشناسی کشور، داده های هواشناسی ایستگاه های مختلف منطقه مورد مطالعه، سال ۱۹۷۵ الی ۲۰۰۰ میلادی

محمودی، فرج الله، (۱۳۷۶)، ژئومورفولوژی اقلیمی، تهران، انتشارات دانشگاه پیام نور.

چورلی، ریچارد جی و همکاران، (۱۳۷۹)، ژئومورفولوژی فرآیندهای دامنه ای، آبراهه ای، ساحلی و بادی، مترجم احمد معتمد، جلد سوم، تهران، سمت، صص. ۴۵۴

که تاثیرات خود را بر روی خط ساحلی با ایجاد اشکال ژئومورفولوژی ساحلی ایفا نمایند.

بررسی های انجام شده نشان می دهد که محیط های تالابی منطقه (دلتای حسن لنگی و شور) امکان رشد و پرورش گونه های مانگرو (حرا و چندل) را دارند. بنابراین کشت این گونه درختان ضریب پایداری خط ساحلی را افزایش داده همچنین شرایط محیط زیستی مناسب تری را فراهم می کند. از طرفی زمینه های بهره برداری اقتصادی را برای چوب و تعلیف دام و شتر امکان پذیر می سازد.

#### منابع

آزرم سا، سیدعلی، سیامک شفیعی و رجبعلی کامیابی گل، (۱۳۸۷)، تغییرات ماهانه میانگین تراز سطح آب در خلیج فارس، دریای عمان و شمال دریای عرب در ۱۹۹۴، مجله فیزیک زمین و فضا، دوره ۳۴، شماره ۲، ص ۸۳-۹۶

بنازاده، محمدرضا و مهدی آرام، (۱۳۷۳)، گردش آب در خلیج فارس، دومین کنگره علوم و فنون دریایی و جوی ایران، اهواز.

جعفریان ایانه، فاطمه و عباسعلی علی اکبر بیدختی، (۱۳۸۶)، بررسی عناصر هواشناختی موثر بر جریان گرانی خروجی از خلیج فارس، محیط شناسی، سال ۳۳، شماره ۴۴، ص ۱۸-۱۱

کلتابت، دیتر، ثروتی، محمدرضا، (۱۳۷۸)، جغرافیای طبیعی دریاهای و سواحل، تهران، انتشارات سمت.

دانه کار، افشن، (۱۳۷۶)، بررسی وضعیت جنگل های حرا در تنگه هرمز، اداره کل حفاظت محیط زیست استان هرمزگان.

- water masses of the western gulf, Oceanol. Acta. 13, 281-273.
- Kantha, L. H., Pontius P. E., and Anantharaj, V (1994), Tides in marginal, semi-enclosed and coastal seas. Part I: Sea surface height. Univ of Colorado, Colorado Center for Astrodynamics, Research Report
- Kassler, P: The Structural and Geomorphic Evolution of the Persian Gulf 1973
- King. C.A.M., (1966), Beaches and Coasts, London, Edward Arnold Ltd.
- Kukal, Z. and SAADOLLAH, A. (1973) Aeolian Admixtures in the Sediments of the Northern Of Persian Gulf 1973
- McCall G. J. H, Explanation Text of the Tahrui Quadrangle Map,
- McCall G. J. H , The Geotectonic history of the Macran and adjacent areas of Southern Iran
- Melgun, M. (1973) Correspondence Analysis for Recognition of Facies in Homogeneous Sediments of an Iranian River Mouth 1973
- Purser, B. H. and SEIBOLD, E. (1973) The Principal Environmental Factors Influencing Holocene Sedimentation and Digenesis in the Persian Gulf 1973
- Purser. B. H., (1973) the Persian Gulf, Springer Verlag Berlin. Heidelberg 1973
- Sarenthein, M. and Walger, E.: Classification of Modern Marl Sediments in the Persian Gulf by Factor Analysis
- Seybold, E., Diesler, L., Futterer, D., Lange, H., Muller, P., and Werner. F. (1981) Holocene Sediments and Sedimentary Processes in the Iranian Part of the Persian Gulf 1981
- Swift, S. A., and Bower, A. S., (2003), Formation and circulation of dense water in the Persian/Arabian Gulf, J. Geophic. Res., 108, C1, 3004,doi:10.1029/2002JC001360
- مهندسین مشاور جاماب، (۱۳۷۸)، طرح جامع آب کشور، حوضه آبریز کل و ساحلی، وزارت نیرو، تهران.
- مهندسین مشاور جاماب، (۱۳۷۸)، طرح جامع آب کشور، حوضه آبریز ساحلی میناب - بندرعباس، وزارت نیرو، تهران.
- نوحه گر، احمد و مجتبی یمانی، (۱۳۸۵)، ژئومورفولوژی ساحلی شرق تنگه هرمز با تأکید بر فرسایش بادی، دانشگاه هرمزگان، صص ۲۵۰.
- یمانی، مجتبی، (۱۳۷۸)، اثر حرکات آب دریای عمان در تشکیل و تکامل تالاب‌های جزرومدی، پژوهش‌های جغرافیایی، شماره ۳۷، تهران موسسه جغرافیا.
- یمانی، مجتبی، (۱۳۷۵)، ژئومورفولوژی ساحلی شرق تنگه هرمز، جداری عیوضی، جمشید، رساله دکتری، دانشگاه تهران، گروه جغرافیای طبیعی.
- Bird Eric. (2000), Coastal Geomorphology an Introduction, University of Melborne, Australia – JOHN WILEY & SONS. LTP, 2000
- British Admiralty Org. The Persian Gulf Pilot and its Approaches – Twelfth Edition (1982)
- D.S.O, New Commercial port of Bandar Abbas, Ministry of Roads & Transportation, Ports & shipping Organization – Tehran. Oct. 1974
- John, V., Coles, S., and Abozed, A. (1990), Seasonal cycles of temperature, salinity and